## ◇特集◇ 電池材料,新素材,機能材料開発を支援する化学技術

## 新素材・機能材料開発を支える 「媒体撹拌型乾式粉砕」

石川 貴之\*)

### 1. はじめに

2030年の温暖化効果ガス削減目標,2050年のカーボンニュートラルの達成等に向けて,さまざまな分野で新素材や機能材料の開発が進められている。その中でも粉砕工程は特に重要なプロセスとして電池,電子,塗料,食品,医療,化粧品,ファインセラミックスなど幅広く検討がなされている。

粉砕工程は大きく分けると湿式処理と乾式処理に分けられる。湿式処理はより微粒化を目指せる手法として粒子のナノサイズ化やビルドアップ法により生成した凝集物の解砕・分散などに多く用いられている。一方で湿式処理は溶媒の除去が大きな課題であり、特に有機溶剤利用による環境負荷への高さ、乾燥工程が入ることによる必要エネルギー量の増大、乾燥時の凝集・固着などのデメリットがあげられる。特に 2050 年カーボンニュートラルを目指す日本では今後製造工程における  $CO_2$  排出量削減も重要な要素であることから、更なる省エネルギー化が求められている。

乾式粉砕は、溶媒を用いず直接原料を粉砕・微粒化する手法である。乾式粉砕による微粒化は一般的に数 $\mu$ mが限界であり、その要因として微粒化につれ付着・凝集が発生してしまうことがあげられる。しかし、乾燥工程を経ずに処理が可能である点から湿式処理と比べ工程のトータルエネルギーは削減でき、 $CO_2$ 排出量削減や環境負荷低減に寄与できることから近年盛んに検討が進められている。

また, 粉砕エネルギーを物質に与え粉砕すると, 同一の物質であっても物理的・化学的特性が変わっ

\*)ISHIKAWA Takayuki:日本コークス工業株式会社

粉体技術センター 開発グループ 〒 328-8503 栃木県栃木市国府町1

TEL: 0282-28-1161 FAX: 0282-28-1150 E-mail: takayuki-ishikawa@n-coke.com>

てくることが古くから知られている。メカノケミストリーと呼ばれるこの分野は、固体物質に加えられた機械的エネルギーが固体の形態や結晶構造などの変化を促し、それに伴う物理化学的な変化により他物質との反応や構造変化が発現する現象を扱う。当社もこのメカノケミストリーに注目し検討を進めており、新素材・機能材料開発に追従すべく日々研究開発を進めている。そこで、本稿では当社媒体撹拌型乾式粉砕機の紹介とともに、新素材・機能材料の開発に関し特にメカノケミストリーに関連する最新技術の一部を紹介する。

## 2. 当社媒体撹拌型乾式粉砕機「アトライタ」 ご紹介

### 2-1. アトライタ概要

当社の媒体撹拌型粉砕機の原点として、古くからさまざまな粉砕工程に利用されている「アトライタ」を先ず紹介する。

アトライタ は、アメリカの Union Process 社 の Dr. Szegvar によって 1940 年代に開発され、日本では当社(当時の三井三池製作所)が 1960 年に技術導入し販売を開始した。さらに 1978 年に同じく Union Process 社から乾式アトライタを技術導入。ブラッシュアップを図りながらも基本構造は変えず、現在に至るまで半世紀以上の処理実績があり、新素材開発には欠かせない粉砕機となっている。

アトライタの構造を**図1**に示す。アトライタは直径 $\phi$ 3~10mmの粉砕メディアを粉砕室に充てんし、粉砕室中央に設けたシャフト・アームを回転させることで粉砕メディアを強制撹拌し、砕料へ衝撃やずりせん断などを与えることにより粉砕する。

アトライタはその構造と機能から、従来のボール ミルやロールミルの操作性と安全性の問題を改善し たとされており、さらにメディアを強制的に撹拌す る機構による遠心力の効果によってボールミルや振 動ミルと比べて高エネルギーを印加できることから

2024年5月号 27

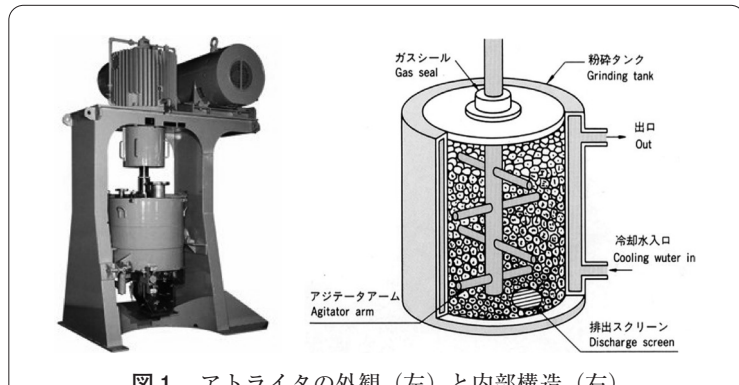


図1 アトライタの外観(左)と内部構造(右)

粉砕速度が非常に速く、ボールミルの約10倍程度 の粉砕能力がある。タンクは水冷ジャケット付きで 粉砕時に発生する熱を下げることができるほか、密 閉構造にも対応できるため、不活性ガス雰囲気下や 真空・減圧下で粉砕処理を行うことができる。材料 は万遍なくボール間に噛み込まれ、均一に粉砕する ためにタンク内に滞留する箇所がないように撹拌 アームの形状、寸法および配置に工夫がなされてい る。

また、乾式アトライタはメカニカルアロイング処 理で大きく前進した機械である。メカニカルアロイ ング(以下 MA)とは、各種の金属粉、合金粉や酸 化物を混合分散し粉砕と圧着を繰り返して、粒子を 均一に分布させるとともに金属を合金化する方法で ある。MA では粉砕によって砕料に生じた新生表面 同士が接触し結合され、接合と砕断が繰り返さるな かで異種金属同士が緻密に分散され合金が生成され る。MA 中は粉砕室内の気体とも反応しやすい環境 となるため、粉砕室内が密閉構造かつ不活性ガスを 用いることが可能な乾式アトライタは、素材の酸化 や気体との反応を抑制しながら合金化が可能となっ ている(図2)。

## 2-2. アトライタを用いた元素ドープ二酸化チ タンの処理事例

アトライタを用いた検討事例として、光触媒の素 材開発を紹介する。

光触媒の素材として代表的な二酸化チタンや酸化 亜鉛は、主に紫外線を照射することで光触媒として の機能を発揮する。太陽光に含まれる可視光は約 52%であるところ、紫外線はわずか5~6%程度と 少なく、太陽光の届かない室内ではその触媒効果が 発揮されない。これに対し、二酸化チタンや酸化亜 鉛の酸素サイトを窒素 (N) や硫黄 (S) に置換 (元素 ドーピング) することで可視光応答性が発現するこ

とが研究で分かっている10。可視光応答型光 触媒であれば、蛍光灯や LED 灯の明かりで も触媒効果が発揮されるだけでなく、太陽光 の照射下における触媒効果の増大が見込める こととなる。

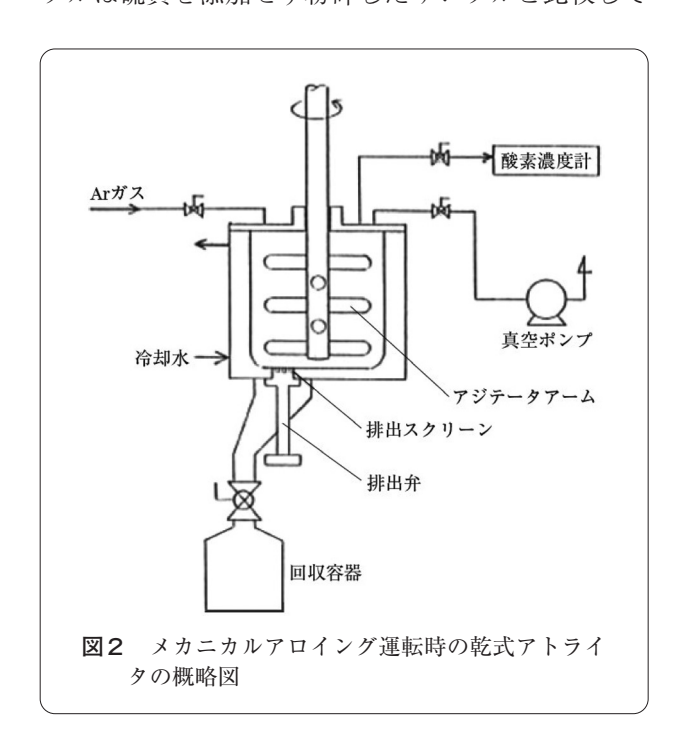
S元素やN元素のドーピング手法は、硫 化水素などの危険性の高いガスの利用や.プ ラズマ、スパッタリング、X線などの特殊 な装置, 高温や真空・減圧, 不活性ガス雰囲 気かで処理する必要があり、製造時のコスト アップにつながる。そこで、当社では粉砕機

を活用したメカノケミカル法による元素ドーピング 技術に注目した。

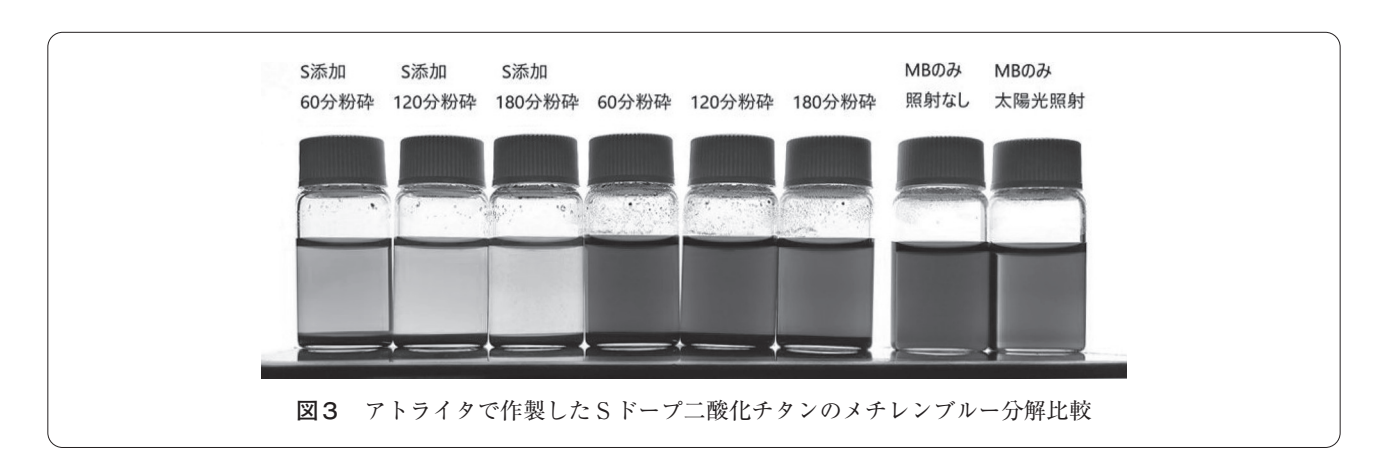
メカノケミカル法(以下 MC)は、粉砕などの機 械的応力を作用させた際の材料の結晶構造の変化に よって生じる化学的性質の変化を用いて反応や構造 変化を促す手法である。粉砕メディアの衝撃やずり せん断などの粉砕エネルギーにより、常温常圧下で も反応を促すことができることから、従来の処理方 法よりも簡便に元素ドーピングが可能となっている。

乾式アトライタに所定量の二酸化チタン(アナ ターゼ型)と元素ドープする硫黄(S)粉末を投入し、 180 分粉砕処理を実施. 経時変化を比較した。比較 対象に、硫黄粉末を入れずに粉砕したサンプルを用 意した。光触媒効果の評価は、メチレンブルー(以 下 MB) 溶液に作製した触媒を添加し、太陽光を8 時間照射後の MB の分解 (脱色)量を比較した。

結果を図3に示す。硫黄を添加し粉砕したサン プルは硫黄を添加せず粉砕したサンプルと比較して



28 化学装置



MBの色が明らかに薄くなっていることが分かり、 光触媒効果が増加していることが確認できる。

同様に、酸化亜鉛に窒素(N)を元素ドープしたサンプルも作製し評価を行った。窒素源は尿素粉末を用い、酸化亜鉛とともにアトライタに投入し合計120分粉砕、経時毎のサンプルを得た。Nドープ型酸化亜鉛の評価はラマンスペクトルと反射スペクトルの測定を行った。ラマンスペクトルと反射スペクトルの原料粉末及びアトライタでMC処理を行ったサンプルの経時変化を図4に示す。ラマンスペクトルにおいて、原料波形では観測されなかったピークが粉砕処理を施したサンプルでは273cm<sup>-1</sup> および580cm<sup>-1</sup>にそれぞれ確認できる。また。そのピーク強度も処理時間とともに増加していることが分かる。このことから、MCにより酸化亜鉛に窒素がドープされていることを示し、処理時間に応じてNドープ量も増加しているものと考えられる。

続いて、拡散反射で測定した波形を Kubelka-Munk 変換した吸収スペクトル結果を**図5**に示す。酸化亜鉛原料では 430nm 付近にあった吸収端が 650 ~ 700nm の可視光領域までシフトしているこ

とが分かる。このことから、Nドープされた酸化亜鉛のバンドギャップが狭くなり、可視光領域の光を吸収することができていることが確認された。

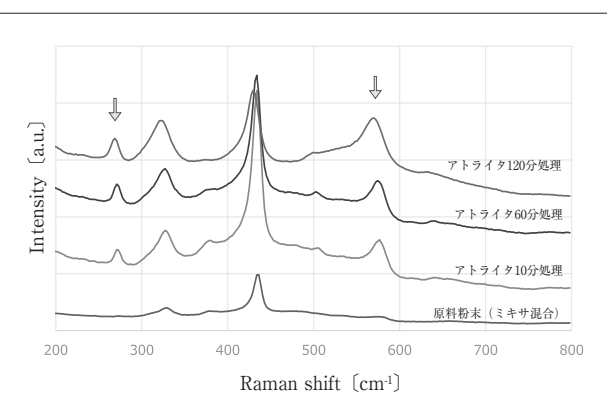
このように、アトライタを用いた MA 処理や MC 処理が新素材の製造に新た な可能性をもたらすものと考える。

## 3. 連続型横型ボールミル「ダイ ナミックミル」

#### 3-1. ダイナミックミルの概要

アトライタはバッチ式の粉砕機である ことから品質安定性が高い一方, さらな る生産性を求められ開発されたのが横型 連続式ボールミル「ダイナミックミル」である。

ダイナミックミルの構造を図6に示す。ダイナミックミルは、アトライタと同じく直径 $\phi$  $3\sim10$  mm の粉砕メディアを粉砕タンク内に充填し、強制撹拌することで、数 mm 程度の原料を数十  $\mu$ m から 3  $\mu$ m 程度へ微粉砕することができる。粉砕タンク内にボールを撹拌するアームを設置し、片端に原料投入口、他端にスクリーンを取り付けた吐出口がある構造で、処理物を連続的に粉砕する。このシステムに必要なのは供給装置のみで、気流式粉砕機や



**図4** アトライタによる N ドープ酸化亜鉛サンプルの ラマンスペクトル

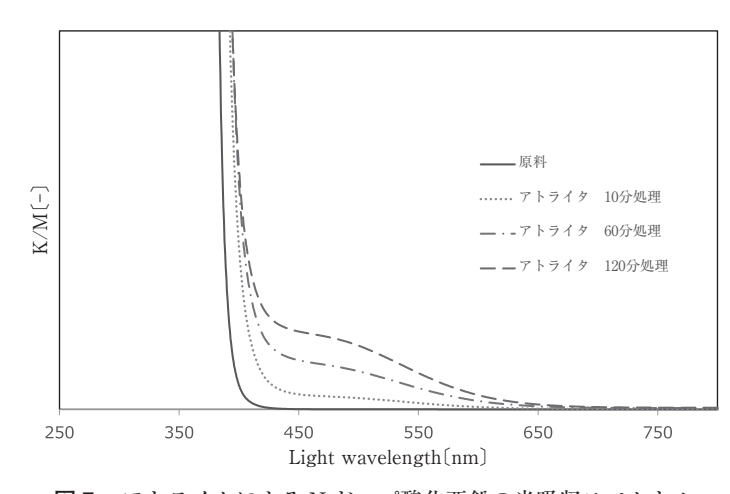
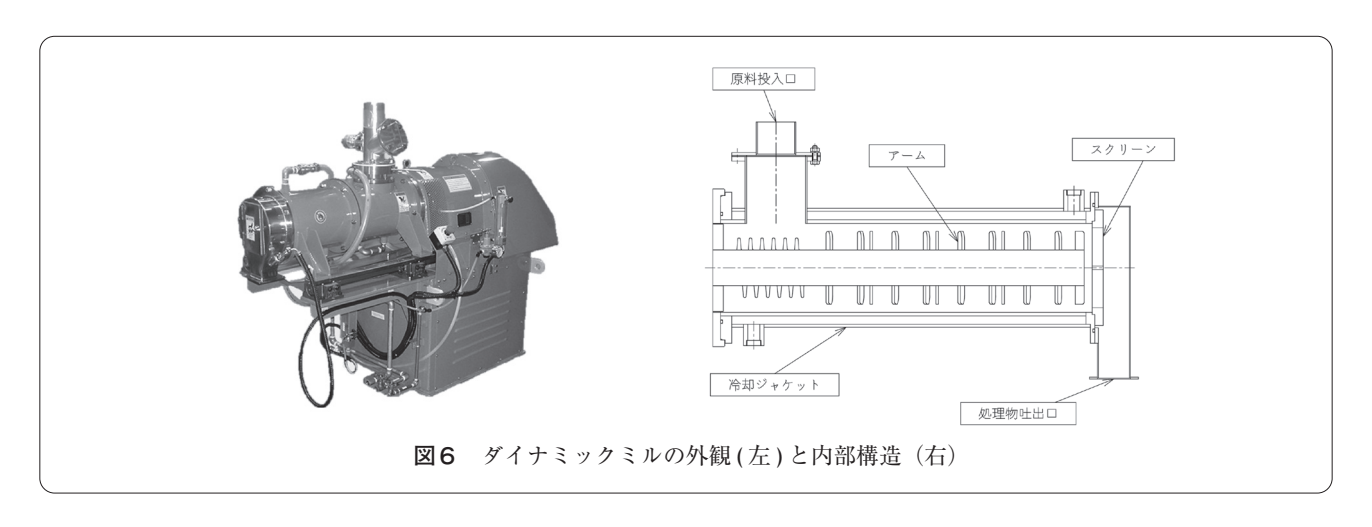


図5 アトライタによる N ドープ酸化亜鉛の光吸収スペクトル

2024年5月号 29



ジェットミルに比べ付帯設備が大幅に少ないのが特徴である。標準仕様は粉砕室内部がステンレス仕様であり最大300型(タンク容量:380L)まで納入実績がある。また、金属コンタミネーションを防止するため粉砕室のセラミックス化にも対応しており、最大100型(タンク容量:98L)の納入実績がある。

電池材料の処理事例として,リチウムイオン電池 の正極材料がある。仮焼成前に適正な微粒子径に揃 えることで,材料の接触面積が増え,焼成時間の短 縮や未反応物の減少により製品歩留まりの改善につ ながることから,粉砕を効率的に行うことができる 本機の検討・導入実績は国内外問わず増えてきてい る。

## 3-2. ダイナミックミルを用いた元素ドーピン グの連続処理化

ボールミルは粉砕だけではなくメカノケミカル効果を用いた材料作製が可能であり、最近ではリチウムイオン電池の正極材料や固体電解質の作製におい

てメカノケミカル処理を用いた手法が見受けられる。先述したアトライタによる処理事例のとおり、バッチ式のボールミルにおいてもメカノケミカル効果を用いた処理は可能であるが、量産化を視野に入れた場合、ダイナミックミルのようなスケールアップが可能な連続式の粉砕機が望まれる。

そこで、ダイナミックミルを用いて、 粉砕室内を不活性雰囲気に調整し、酸化 亜鉛に窒素を機械的にメカニカルドーピ ングし光触媒を作製した事例を紹介す る。

酸化亜鉛と尿素粉末を混合し、供給

機でダイナミックミルに投入し連続粉砕を実施。Nドープ酸化亜鉛サンプルを作製した。投入エネルギーの差異を確認するため、標準のアーム回転速度で処理したサンプルと、より高速にアームを回転させ粉砕処理を行ったサンプルを用意した。得られたサンプルはラマンスペクトルと反射スペクトルの評価を行い、構造変化、光波長吸収への影響を調査した。

原料およびダイナミックミルにて、アーム回転速

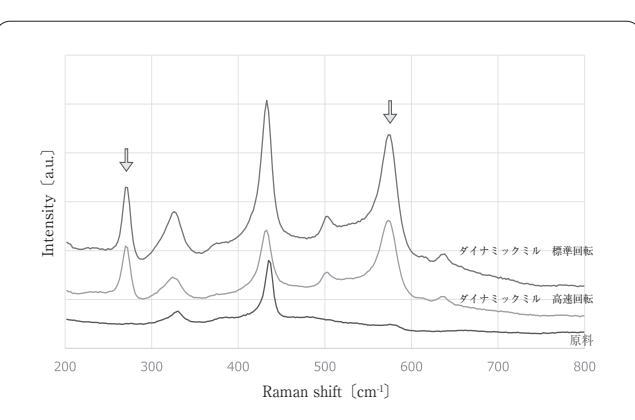


図7 ダイナミックミルによる N ドープ酸化亜鉛のラマンスペクトル

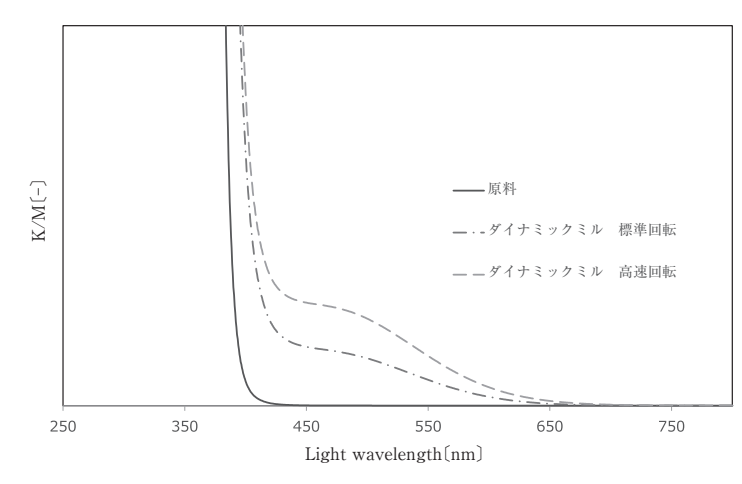


図8 ダイナミックミルによる N ドープ酸化亜鉛の光吸収スペクトル

30 化学装置



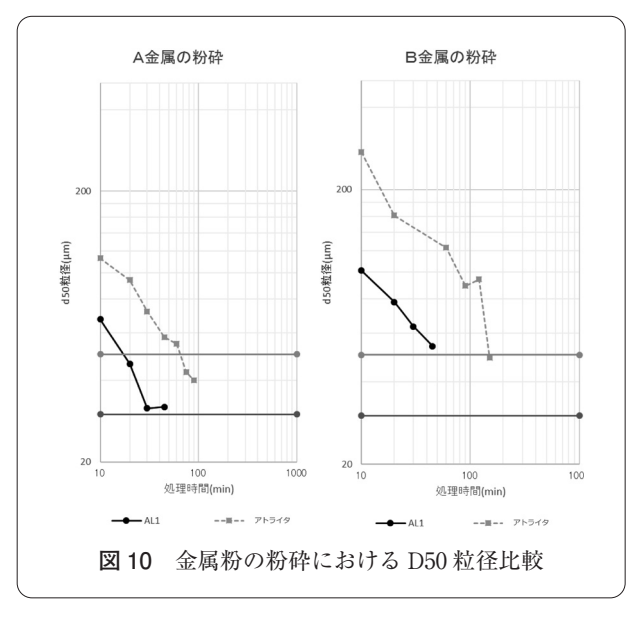
度を変え作製したサンプル2種のラマンスペクトルを図7に示す。アトライタでの評価結果と同様に、273cm<sup>-1</sup> および 580cm<sup>-1</sup> 付近に、原料には観測されないピークが確認できたことから、ダイナミックミルによる連続処理でも N ドープ酸化亜鉛が得られていることが分かる。また、光波長の吸収スペクトルを比較すると(図8)、ダイナミックミルで連続処理したサンプルではより長波長側も吸収できることが分かり、また高速回転で処理することにより光触媒効果を増大させられることも確認した。このように、アトライタによる新素材の調査検討からダイナミックミルによる量産体制の構築まで当社機器で検討を進めることが可能である。

#### 4. 横型媒体撹拌型粉砕機「アルケミ」

## 4-1. アルケミの概要

アトライタは、鉛直にシャフトを設け撹拌させる 竪型構造から、比重の重い処理物を粉砕すると粉砕 室の槽底に処理物が偏りやすく不均一な粉砕になる ことがあった。さらに、粉砕メディアの自重も影響 し粉砕室内のエネルギー分布に偏りが生じるため、 大型化への課題があった。そこで、開発されたのが、 水平にシャフトを設けた横型媒体撹拌型粉砕機である「アルケミ」である(図 9)。

アルケミは、先述した乾式アトライタの課題である砕料の偏在やエネルギー分布の偏りを解決すべく当社で開発した機械である。構造をアトライタのような竪型から横型にすることで、粉砕メディアおよび砕料の動きを改善させている。この縦横の優位性については離散要素法(Discrete Element Method、: DEM)によるシミュレーションで検証を行っている。シミュレーションによると、竪型のアトライタで発生していた粉砕室下部の粉砕メディアの動きの抑制や偏りが発生していたが、横型のアルケミでは粉砕メディアの動きや速度に偏りは見られず、粉砕メディアが均一に運動することが分かった。



さらに、アルケミは粉砕室下部と上部双方で活発に 粉砕メディアが動くことからより均一にエネルギー 伝達ができ、粉砕能力はアトライタ比で約3倍に向 上した(図10)。

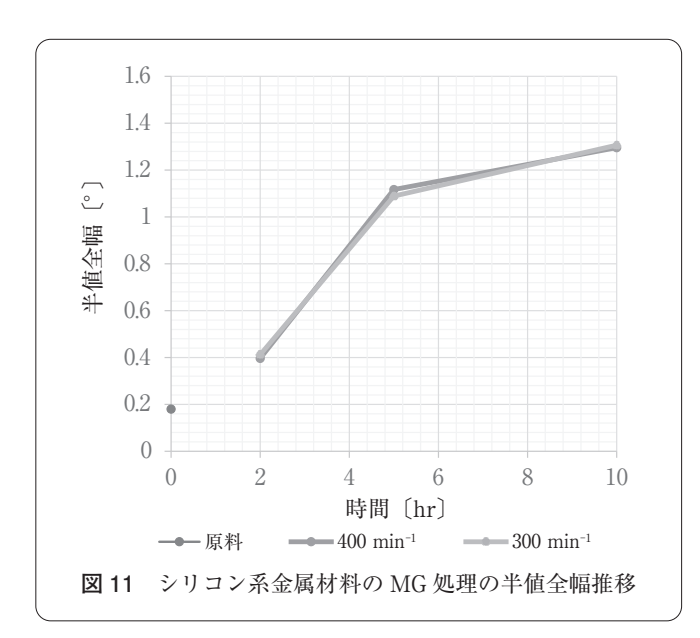
## 4-2. アルケミを用いたシリコン系電池材の検 計事例

電池の負極材でシリコンを用いた検討事例が盛んに行われているが, 充放電による膨張が課題にあり, 対策として材料粒子を構成する結晶子サイズの微細化があげられている。材料粒子の結晶子を微細化することによりサイクル特性の改善や電子伝導性の向上, 結晶子の割れ抑制につながり電池性能の向上に寄与できるためである<sup>2)</sup>。その手法としてアルケミによるメカニカルグライディング (以下 MG)処理が注目されている。

MGとは1種の金属または合金粉末を機械的に混ぜ合わせる操作であり、粉砕エネルギーを与えることで結晶構造に変化を与えるものである。アルケミによる MG 処理がシリコン系金属材料の結晶子に及ぼす影響を調査した事例を以下に示す。

シリコン系金属原料をアルケミの粉砕室に入れ、Arパージ下でMG処理を行い、結晶子径の経時変化を調査した。併せてアーム回転速度による差異がないか、2種の回転速度( $300 \text{min}^{-1}$ ,  $400 \text{min}^{-1}$ )でサンプルを作製した。評価はX線回折測定(XRD)を行い、X線回折のピークから半値全幅を割り出すことで結晶子径の推定を行った。XRDを用いた結晶子径の推定はシェラー式(1)をもとに行われることが多い。

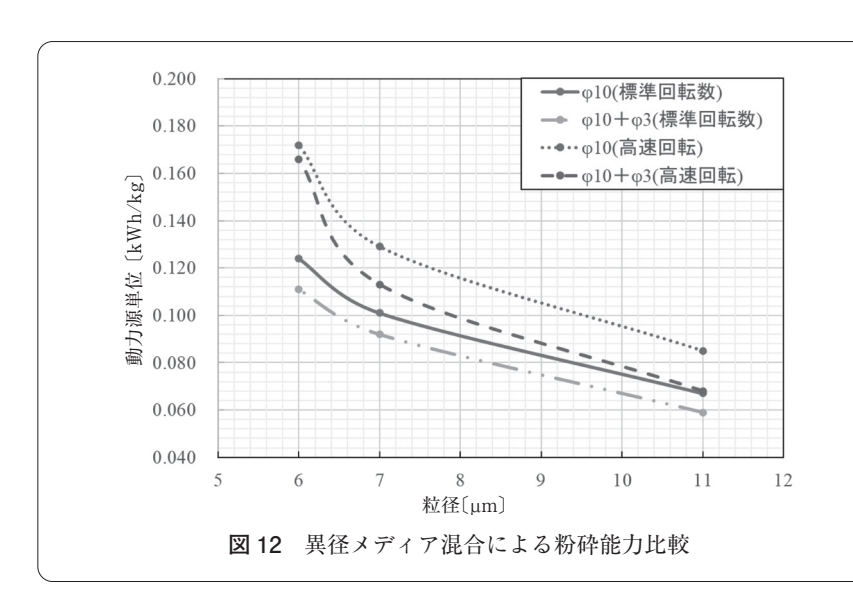
2024年5月号 31



$$D = \frac{K \lambda}{B \cos \theta} \quad \cdot \quad (1)$$

ここで、D:結晶子径 [nm]、K:シェラー定数 [-]、 $\lambda$ : X 線波長 [nm]、B: 回折線幅の広がり [rad]、 $\theta$ : ブラッグ角 [rad] をそれぞれ示す。回折線幅の広がり [nd]0 は一般的に XRD により得られたピークの半値全幅を用いることが多く、半値全幅が結晶子径と反比例の関係にあることから、半値全幅の経時変化を確認することとした。

各サンプルの半値全幅の経時変化を**図11**に示す。 原料と比較してアルケミで MG 処理したサンプル は半値全幅の増加が確認され、結晶子径が小さく なっている可能性が示唆された。一方、アーム回転 速度による差異はなく同等であったうえ、粉砕室内 への材料の付着がより強く確認されたこともあり、



付着対策など運転条件の最適化が必要であることが 分かった。投入原料の変更やアーム回転方向の影響 などを調査したところ、特にアーム回転方向を最適 化することで付着低減や動力原単位の低下に効果が あることが分かった。

# 4-3. アルケミによる異径混合メディアを用いた処理能力向上検討事例

最近では、異径サイズの混合メディアを用いて粉砕能力向上に関する研究を進めており、メディア混合比率や径の最適化を進めている<sup>3)</sup>。図 12 は、アルケミによる同径メディアのみと異径メディアを混合した際の珪砂の粉砕能力比較である。異径混合メディアを用いた粉砕は、同径メディアのみと比較して動力原単位が低く、高効率で省エネルギー化の粉砕処理を可能にする。

異径混合メディアを用いた粉砕は、連続式のダイナミックミルへの適用も可能で、特に粗粉砕領域での高効率化が確認されている。前述のメカノケミカル処理においても、異径混合メディアを用いることで反応の効率アップが期待できる。引き続き検討を重ね、さらに効率よく粉砕、反応が促せるよう改良・改善に努めていく。

#### 5. おわりに

2050年カーボンニュートラルの達成に向け、新素材・機能材料は日進月歩で開発が進んでいる。蓄電池のみならず様々な分野において、製造プロセスの効率化・省エネルギー化・品質向上を前提とした粉体技術が求められる。今回は媒体撹拌型乾式粉砕

機を中心に紹介したが、他粉砕機の ほか混合機、混練機も取り扱う当社 の特色を生かし、持続可能な社会構 築の一助となるよう日々改善を進め ていきたい。

### <引用文献>

- R. Asahi, T. Morikawa, T. Ohwaki, K. Aoki, and Y.Taga, Science, 293, 269 (2001)
- 2) 長谷川正樹, 山本輝明, 美藤靖彦, 松下テクニカルジャーナル, 52 (4), (2006)
- 3) 宮澤諒ら, 粉体工学会春期研究発表 会講演要旨集,p32-33(2023)

32 化学装置